

九州大学 学生員 ○明田敏郎
九州大学 正員 太田俊昭

1. まえがき

吊橋の鉛直変形挙動については、微分方程式による構度理論や有限変形を考慮した変形法などの諸解法によって十分解明されてゐるが、これらはいずれも弾性範囲を対象としており、その弾塑性挙動をさらに破壊力学ニズムを理論的に解明した例は極めて少ない。本研究は単橋の静力学的安全性ならびに耐震工学上の基礎的指針をうるため、漸増および変動くり返し荷重に対する単橋の非線形挙動をより的確につかむための弾塑性有限変形理論の体系的确立を目指すものであり、本報では、(1)の変形段階として、bilinear型応力-ひずみ曲線の導入および部材が負の軸力を受けたときに生じる全体剛性の低減を考慮する増分形式の弾塑性有限変形理論を提示するとともに、同理論を用いて簡単な単橋を対象に選び、上記荷重に対する非線形挙動を解明し、かつ、耐震解析に必要な単橋の非線形履歴特性について若干の考察を試みた。

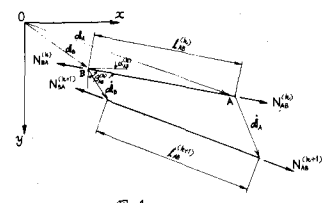
2. 変形法公式 (1) 主ケーブルおよび部材についての基本式

荷重段階が表番号から(k+1)番目に変化したときの位置ベクトル、軸力などの諸量を図-1のように表わすと、方向余弦 $C_{AB}^{(k)}$ 、部材 \overline{AB} の伸びの増分 \dot{l}_{AB} 、方向余弦の増分 $\dot{C}_{AB}^{(k)}$ は次のように表わされる。

$$L_{AB}^{(k)} C_{AB}^{(k)} = d_A^{(k)} - d_B^{(k)} \quad (1) \quad \dot{l}_{AB} = C_{AB}^{(k)T} (d_A^{(k)} - d_B^{(k)}) \quad (2)$$

$$\dot{C}_{AB}^{(k)} = C_{AB}^{(k)*} (\dot{d}_A^{(k)} - \dot{d}_B^{(k)}) / L_{AB}^{(k)} \quad (3)$$

ただし、 $C_{AB}^{(k)} = \begin{bmatrix} \cos \alpha_{AB}^{(k)} \\ \sin \alpha_{AB}^{(k)} \end{bmatrix}$ 、 $d_A^{(k)}, d_B^{(k)}$ は部材 \overline{AB} 両端の原点からの位置ベクトルで、 $\dot{d}_A^{(k)} = \begin{bmatrix} \dot{x}_A^{(k)} \\ \dot{y}_A^{(k)} \end{bmatrix}$ 、
 $\dot{d}_B^{(k)} = \begin{bmatrix} \dot{x}_B^{(k)} \\ \dot{y}_B^{(k)} \end{bmatrix}$ 、 $\dot{d}_A^{(k)}, \dot{d}_B^{(k)}$ は変位の増分ベクトル、 $C_{AB}^{(k)T} : C_{AB}^{(k)}$ の転置マトリクス、 $C_{AB}^{(k)*} = I - C_{AB}^{(k)T} C_{AB}^{(k)}$ 、
Ⅱ: 単位マトリクス、 $L_{AB}^{(k)}$: 部材長、小カッコ内の方は荷重段階を示す。



さて、活荷重によって部材 \overline{AB} に生じる軸力の増分 \dot{N}_{AB} は $\dot{N}_{AB} = \dot{\phi}_{AB} A_{AB}$ であり、また、応力-ひずみの関係を bilinear 型と仮定すれば、図-2より $\dot{\sigma} = \mu E \dot{\epsilon}$ が成立立つ。したがって \dot{N}_{AB} は

$$\dot{N}_{AB} = \mu_{AB}^{(k)} E_{AB} \dot{A}_{AB} \dot{\epsilon}_{AB} = \mu_{AB}^{(k)} E_{AB} \dot{l}_{AB} / L_{AB} \quad (4)$$

ただし、 A_{AB} は死荷重のみによるつりあい状態での部材断面積。

さらに、式(2)を式(5)に代入すれば、

$$\dot{N}_{AB} = \mu_{AB}^{(k)} C_{AB}^{(k)T} (\dot{d}_A^{(k)} - \dot{d}_B^{(k)}) / L_{AB} \quad (\text{ただし、} \mu_{AB}^{(k)} = \mu_{AB}^{(k)} E_{AB}) \quad (5)$$

次に、部材力の増分 \dot{F}_{AB} は次のように表わされる。

$$\dot{F}_{AB} = \begin{bmatrix} \dot{X}_{AB} \\ \dot{Y}_{AB} \end{bmatrix} = \dot{N}_{AB} C_{AB}^{(k)} + \dot{N}_{AB}^{(k)} \dot{C}_{AB}^{(k)} \quad (\text{ただし、} X_{AB}, Y_{AB} \text{ はそれぞれ部材端 A の } x \text{ 方向と } y \text{ 方向の部材力。}) \quad (6)$$

ところで、式(3)、(5)を式(6)に代入のうえ整理すれば、軸力部材の変形法公式が次のようによめられる。

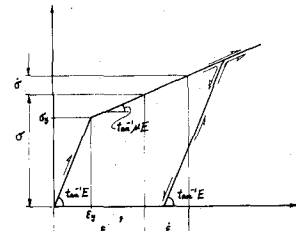
$$\dot{F}_{AB} = K_{AB}^{(k)} (\dot{d}_A^{(k)} - \dot{d}_B^{(k)}) / L_{AB} \quad (\text{ただし、} K_{AB}^{(k)} = \mu_{AB}^{(k)} C_{AB}^{(k)T} C_{AB}^{(k)} + \mu_{AB}^{(k)} C_{AB}^{(k)*} \dot{C}_{AB}^{(k)} / L_{AB}) \quad (7)$$

なお、式(7)の $K_{AB}^{(k)}$ に含まれる添数 $\mu_{AB}^{(k)}$ を常数 1.0 における弾性域での解析となり、後藤比の誘導式⁽¹⁾を増分形式に書き改めたものに合致する。ただし、増分は総べて(k+1)番目の荷重段階のものと表わす。

(2) 補剛桁についての基本式 補剛桁の誘導は微小変形理論に基づくが、ここでは軸力の影響を無視する。

補剛桁と部材の接合点*j*=1, 2, ..., *n*において補剛桁に作用する鉛直部材力をそれぞれ y_1, y_2, \dots, y_n とすれば、これらは図-3に示すような単純ばかりに作用する外力とみなすことができる。したがって、主節点の出げモーメントの増分ベクトル M は次のようにならうことができる。

$$M = K_M Y \quad (\text{ただし、} Y \text{ は鉛直部材力の増分を表す列ベクトル, } K_M \text{ は係数マトリクス。}) \quad (8)$$



また、曲率と曲げモーメントの関係は文献(2)を参考すれば、次のような増分形式の関係式となる。

$$\dot{\phi} = \frac{1}{E} \dot{M} + \dot{\psi} \quad (\text{ただし}, \dot{\psi}: \text{曲率の増分を表す列ベクトル}, \dot{\phi}: \text{塑性曲率の増分を表す列ベクトル}, \frac{1}{E} = \left[\begin{array}{cccc} 1/E_1 & 0 & \dots & 0 \\ 0 & 1/E_2 & \dots & 0 \\ \vdots & \vdots & \ddots & \vdots \\ 0 & 0 & \dots & 1/E_n \end{array} \right].) \quad (9)$$

次に、節点ごとの鉛直変位は中一法公式²⁾より

$$v_i = (x_i/l_0) \int_0^{l_0} \phi(x-x) dx - \int_{l_0}^{x_i} \phi(x-x) dx \quad (10)$$

と表わされるゆえ、上式を台形法で書き改めて全節点についての鉛直変位の増分を表す列ベクトル \vec{v} を導くと次式のようになる。

$$\vec{v} = \mathcal{B} \dot{\phi} \quad (\text{ただし}, \mathcal{B}: \text{係数マトリクス}.) \quad (11)$$

そこで、式(8), (9)を式(11)に代入のうえ整理すれば、補剛桁についての変形法公式が次のよう求められる。

$$Y = K_S \vec{U} - K_S \vec{v}_S \quad (\text{ただし}, K_S = (\mathcal{B} \mathcal{B}^T K_M)^{-1}, \vec{v}_S: \text{補剛桁の塑性変形増分}) \quad (12)$$

3. 応用例および結果 以上の諸等式を併用して図-4のよう簡単な吊橋の解析を行なう。すなわち、接合点1の力のつりあい式を求めれば

$$\bar{F}_{AB}(1) - \bar{F}_{AB}(2) + \bar{F}_{AB}(2) - \bar{F}_{AB}(4) = 0 \quad (\text{ただし}, \bar{F}_{AB} = \bar{F}_{AB}/G_0 A_0, G_0: \text{降伏応力}.) \quad (13)$$

であるから、式(13)を代入のうえ、X方向、Y方向成分について整理して表わせば次のようになる。

$$b_{11}^{(k+1)} \dot{U}_1 + b_{12}^{(k+1)} \dot{V}_1 + b_{21}^{(k+1)} \dot{U}_2 + b_{14}^{(k+1)} \dot{V}_3 = 0 \quad (14)$$

$$b_{21}^{(k+1)} \dot{U}_1 + b_{22}^{(k+1)} \dot{V}_1 + b_{23}^{(k+1)} \dot{U}_2 + b_{24}^{(k+1)} \dot{V}_3 = 0 \quad (15)$$

ただし、 $\dot{U}_i = \dot{U}/l_0$, $\dot{V}_i = \dot{V}/l_0$, U : 水平変位, V : 鉛直変位, l_0 : 補剛桁の全長。

また、補剛桁と吊材の接合点2, 3 についての式を求めれば次式となる。

$$\text{接合点2: } \{ \bar{F}_{AB}(2) \}_{\text{Y成分}} + \dot{V}_2 = 0 \quad (16) \quad \text{接合点3: } \{ \bar{F}_{AB}(3) \}_{\text{Y成分}} + \dot{V}_3 = \dot{P} \quad (17)$$

ただし、 $\dot{V} = \dot{V}/G_0 A_0$, $\dot{P} = P/P_0 A_0$, P : 活荷重の増分, (\cdot) 内は部材番号。

式(7), (12)と式(16), (17)に代入のうえ整理すると次式がえられる。

$$b_{21}^{(k+1)} \dot{U}_1 + b_{22}^{(k+1)} \dot{V}_1 + b_{23}^{(k+1)} \dot{U}_2 + b_{24}^{(k+1)} \dot{V}_3 = C_1 \quad (18)$$

$$b_{21}^{(k+1)} \dot{U}_1 + b_{22}^{(k+1)} \dot{V}_1 + b_{23}^{(k+1)} \dot{U}_2 + b_{24}^{(k+1)} \dot{V}_3 = C_2 + \dot{P} \quad (19)$$

よって、式(14), (15), (18)と式(19)の連立方程式を解けば、活荷重 P に対する各

節点の変位をえることができる。ただし、式(14), (15), (18), (19)の $b^{(k+1)}$ は K_{AB} , K_S による変数, $C^{(k+1)}$ は $K_S \vec{v}_S$ による変数。

ここで漸増荷重、正負漸増荷重および種々のくり返し荷重について数値解析を行ない、結果

の一部を図-5, 図-6および図-7に示す。図-5はケーブルおよび吊材の断面の塑性化に伴う剛性の減少効果を示したものである。また、図-6は荷重 P が漸減され負荷に至ったとき、吊材およびケーブルが順次たるんで圧縮力を受けたために全体剛性の低減効果を明らかにしており、特に、吊構造全体が力を受けたときに至ると当然のことながら補剛桁だけの剛性に移行することを示している。一方、くり返し荷重に対する吊構造の履歴特性が、本例の場合図-7のよう千種類の異なる挙動を示し、図の(a)(b)(c)のループは同じ経路をたどり、(a)の補剛桁が弹性応力状態(E点)に至るに至って往復

異なった経路をたどる、(b)の非線形パターンは死荷重の大きさやケーブル

IV. 吊材ならびに補剛桁の大小に支配されることが分かる。

(参考文献大)

1) 徒藤茂夫: 有限変形による吊橋の解法、土木学会論文集、第15号、S.43.8.

2) T. Ohta & T. Yamazaki: Elasto-Plastic Analysis of Steel Structures Considering the Effects of Residual Stress and Finite Deformation, Proc. of JSCE, No. 194, Oct. 1971.

3) 村田重三、太田俊治: 吊橋の弾塑性大たわみ解析(第1報), 九州大学工学集報、第45巻、第4号、S.47.8.

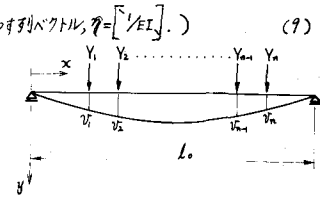


図-3

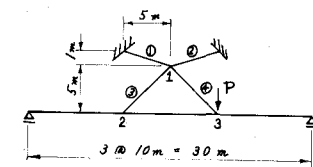


図-4

(テータ)
断面積: 補剛桁 $A_0 = 0.08746 \text{ m}^2$
ケーブル $A_c = 0.005 \text{ m}^2$
吊材 $A_k = 0.002 \text{ m}^2$
補剛桁の断面2次モーメント $I = 0.002 \text{ m}^4$
 $E = 2.1 \times 10^4 \text{ kN/cm}^2$, $G_0 = 3.000 \text{ kN/cm}^2$, $M = 0.1$

